



دانشکده مهندسی خواجه نصیرالدین طوسی

دانشکده مهندسی مکانیک

پایان نامه دوره کارشناسی ارشد

گرایش تبدیل انرژی

عنوان:

## بررسی شاخصه‌های انتقال حرارت نانو سیالات در جریان آشفته داخلی

استاد راهنما:

دکتر علی کشاورز ولیان

نگارنده:

محمد سالمی مجرد

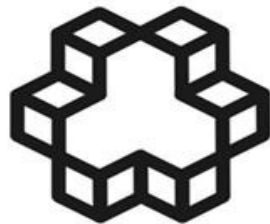
شهریور ۱۳۹۱

الله  
يَا احْمَدَ

تقدیم به مهریان فرشتگانی که:

نه می‌توانم موهایشان را که در راه عزت من سفید شد، سیاه کنم و نه برای دست‌های پینه بسته‌شان که  
ثمره تلاش برای افتخار من است، مرهمی دارم. کسانی که لحظات ناب باور بودن، لذت و غرور دانستن،  
جسارت خواستن، عظمت رسیدن و تمام تجربه‌های یکتا و زیبای زندگی ام، مدیون حضور سبز آن‌هاست.

تقدیم به خانواده عزیزم.



دانشکده صنعتی خواجه نصیرالدین طوسی

دانشکده‌ی مهندسی مکانیک

### تأییدیه هیئت داوران

هیئت داوران پس از مطالعه پایان نامه و شرکت در جلسه دفاع از پایان نامه تهیه شده تحت عنوان :

«بررسی شاخصه‌های انتقال حرارت نانو سیالات در جریان آشفته داخلی»

توسط محمد سالمی مجرد صحت و کفايت تحقیق انجام شده را برای اخذ درجه کارشناسی ارشد در رشته مهندسی مکانیک گرایش تبدیل انرژی مورد تایید قرار می‌دهد.

آقای دکتر علی کشاورز ولیان ۱- استاد راهنما:

آقای دکتر مسعود ضیاء بشر حق ۲- استاد ارزیاب:

آقای دکتر مهرزاد شمس ۳- استاد ارزیاب:

اظهارنامه دانشجو

موضوع پایان نامه: بررسی شاخصه‌های انتقال حرارت نانوسيالات در جریان آشفته داخلی

استاد راهنما: آقای دکتر علی کشاورز ولیان

دانشجو: محمد سالمی مجرد

شماره دانشجویی: ۸۹۱۷۱۶۴

اینجانب محمد سالمی مجرد دانشجوی دوره کارشناسی ارشد مهندسی مکانیک گرایش تبدیل انرژی دانشکده مهندسی مکانیک دانشگاه صنعتی خواجه نصیرالدین طوسی گواهی می‌نمایم که تحقیقات ارائه شده در این پایان نامه توسط شخص اینجانب انجام شده و صحت و اصالت مطالب نگارش شده مورد تایید می‌باشد و در موارد استفاده از کار دیگر محققان به مرجع مورد استفاده اشاره شده است. به علاوه گواهی می‌نمایم که مطالب مندرج در پایان نامه تاکنون برای دریافت هیچ مدرک یا امتیازی توسط اینجانب یا فرد دیگری در هیچ جا ارائه نشده است و در تدوین متن پایان نامه چارچوب مصوب دانشگاه به طور کامل رعایت شده است.

تاریخ: ۱۳۹۱/۶/۳۰

## حق نشر و مالکیت نتایج

- ۱- حق چاپ و تکثیر این پایان نامه متعلق به نویسنده آن می‌باشد. هر گونه کپی برداری به صورت کل پایان نامه یا بخشی از آن تنها با موافقت نویسنده یا کتابخانه دانشکده مهندسی مکانیک دانشگاه صنعتی خواجه نصیرالدین طوسی مجاز می‌باشد. ضمناً متن این صفحه نیز باید در نسخه تکثیر وجود داشته باشد.
- ۲- کلیه حقوق معنوی این اثر متعلق به دانشگاه صنعتی خواجه نصیرالدین طوسی می‌باشد و بدون اجازه کتبی دانشگاه به شخص ثالث قابل واگذاری نیست.  
همچنین استفاده از اطلاعات و نتایج موجود در پایان نامه بدون ذکر مرجع، مجاز نمی‌باشد.

## تقدیر و تشکر

این پایان نامه حاصل تلاش بنده و همچنین کمک جمعی از اساتید و دانشجویان می‌باشد که بی‌شک هریک نقش بسیار مهمی در به سرانجام رساندن این پایان نامه ایفا کرده‌اند. در ابتدا از جناب آقای دکتر علی کشاورزویان به خاطر حمایت‌های بی‌دریغ علمی و معنوی ایشان کمال تشکر را دارم. در ادامه از جناب آقای دکتر مسعود ضیاء‌بشهرحق که با کمک‌های خود مسیر انجام این پایان‌نامه برای بنده هموار کردند، سپاسگزاری می‌نمایم. شاگردی این اساتید عزیز را افتخاری برای خود می‌دانم. بی‌شک رهنمودهای ایشان، چراغ راه زندگیم خواهد بود.

همچنین از جناب آقای دکتر مجید قاسمی و سرکار خانم دکتر شهیدیان به خاطر در اختیار گذاشتن تجهیزات لازم برای آماده‌سازی و اندازه‌گیری خواص نانوسيالات تشکر می‌کنم. از دوستان عزیزم خانم‌ها و آقایان آذین شکوهی، محمدرضا روشی، مهدی رازنهان، محمد رضایی فیروزجایی، علی اکبر ابراهیم‌زاده، محمدرضا امینی، کیانوش عزیزی، محمد نادری، محسن فراتی‌نژاد، حسن حمیدی، آرش جمالی به خاطر همراهی در مراحل ساخت، اندازه‌گیری خواص نانوسيال و کمک‌های فکری و معنوی کمال تشکر و امتنان را دارم.

## چکیده

در پژوهش پیش رو اثر افزودن نانوذرات جامد آلومینا به آب بر روی انتقال حرارت جابه‌جایی اجباری و نیز افت فشار در داخل یک لوله دایره‌ای به طور تجربی و عددی مورد بررسی قرار گرفته است. برای انجام این کار، ابتدا نانوسيال آب - آلومینا توسط یک دستگاه فراصوت با غلظت‌های حجمی مختلف از نانوذرات آلومینا تهیه شده است. سپس انتقال حرارت جابه‌جایی اجباری این نانوسيال در داخل یک لوله مسی با شرط مرزی دمای دیواره ثابت، در محدوده عدد رینولدز ۶۵۰ تا ۱۳۳۰۰ و در غلظت‌های ۰٪، ۲۵٪، ۵٪ و ۷٪، به طور تجربی مورد مطالعه قرار گرفته است. بررسی‌ها شامل اثر حضور نانوذرات، غلظت‌های مختلف آن‌ها و عدد رینولدز بوده است. نتایج به دست آمده از آزمایش‌های تجربی نشان می‌دهد که ضریب انتقال حرارت جابه‌جایی را به اندازه ۴٪ تا ۳۲٪ و افت فشار را بین ۸٪ تا ۲۵٪ نسبت به سیال پایه (آب) افزایش خواهد داد. پس از آن با توجه به داده‌های آزمایشگاهی، روابط جدیدی برای عدد ناسلت و ضریب اصطکاک نانوسيالات در رژیم جريان آرام و آشفته ارایه شد.

در مرحله بعد، هندسه آزمایش با روش‌های عددی مختلفی مورد تجزیه و تحلیل قرار گرفته است. جهت شبیه سازی عددی از نرم افزار فلوئنت استفاده شده است. جهت تحلیل حرارتی و جریانی نانوسيال از روش‌های تک فاز همگن، تک فاز پخشی، دو فاز مخلوط و دو فاز اویلر لاگرانژی استفاده شده است. در روش تک فاز پخشی یک مدل جدید برای پیش‌بینی هدایت حرارت پخشی نانوسيالات ارایه شده است. نتایج به دست آمده از تحلیل عددی نشان می‌دهند که هر چند روش‌های تک فاز پخشی و دو فاز اویلر لاگرانژی انطباق خوبی با نتایج آزمایشگاهی دارند، اما روش تک فاز پخشی به دلیل هزینه محاسباتی کمتر مقرن به صرفه است. در نهایت بازده استفاده از نانوسيالات با غلظت‌های مختلف مورد بررسی قرار گرفت و مشخص شد که افزایش غلظت نانوسيالات به بیشتر از ۵٪ تأثیر چشمگیری در بهبود کارایی خنک کن ندارد.

کلمات کلیدی: نانوسيال آب آلومینا، ضریب انتقال حرارت جابه‌جایی متوسط، افت فشار، هدایت حرارتی پخشی، مدل اویلر لاگرانژ، مدل مخلوط.

## فهرست مطالب

۱.....	۱ فصل اول: مقدمه.....
۲.....	۱-۱ پیشگفتار.....
۵.....	۱-۲ اهمیت نانو سیالات.....
۶.....	۱-۳ تعریف مسئله.....
۷.....	۱-۴ اهداف پژوهش پیش رو .....
۷.....	۱-۵ روش انجام کار.....
۹.....	۲ فصل دوم: مروری بر مطالعات انجام شده.....
۱۰.....	۲-۱ مقدمه.....
۱۰.....	۲-۲ مطالعات تجربی انجام شده .....
۱۰.....	۲-۲-۱ روش های تهیه نانو سیالات .....
۱۱.....	۲-۲-۲ اندازه گیری هدایت حرارتی نانو سیالات .....
۱۴.....	۲-۲-۳ اندازه گیری ویسکوزیته نانو سیالات .....
۱۶.....	۲-۲-۴ اندازه گیری ظرفیت گرمایی نانو سیالات.....
۱۶.....	۵-۲-۱ انتقال حرارت جابه جایی .....
۱۸.....	۶-۲-۱ افت فشار.....
۱۹.....	۳-۲ مطالعات عددی و تئوری انجام شده .....
۱۹.....	۱-۳-۱ روابط چگالی نانو سیالات .....
۱۹.....	۲-۳-۱ روابط هدایت حرارتی نانو سیالات .....

۲۰	روابط ویسکوزیته نانو سیالات	۳-۳-۲
۲۱	انتقال حرارت جابه جایی	۴-۳-۲
۲۴	۳ فصل سوم: بررسی انتقال حرارت و افت فشار نانو سیالات به روش تجربی	
۲۵	۱-۳ مقدمه	
۲۵	۲-۳ دستگاه آزمایش	
۲۶	۱-۲-۳ پمپ	
۲۷	۲-۲-۳ شیر سه راهه	
۲۷	۳-۲-۳ روتامتر	
۲۸	۴-۲-۳ فشارسنج دیفرانسیلی	
۲۹	۵-۲-۳ لوله فولادی	
۲۹	۶-۲-۳ لوله مسی	
۳۰	۷-۲-۳ محفظه اختلاط	
۳۱	۸-۲-۳ ترموکوپل	
۳۱	۹-۲-۳ سیستم داده بردار	
۳۲	۱۰-۲-۳ خنک کن اولیه	
۳۳	۱۱-۲-۳ مخزن و خنک کن ثانویه	
۳۳	۳-۳ نحوه انجام آزمایش و جمع آوری داده ها	
۳۴	۴-۳ نحوه تولید نانو سیالات	
۳۶	۵-۳ اندازه گیری و محاسبه خواص نانو سیالات	
۳۶	۱-۵-۳ چگالی	

۳۶ .....	۲-۵-۳	ظرفیت گرمایی .....
۳۶ .....	۳-۵-۳	هدایت حرارتی .....
۳۶ .....	۴-۵-۳	اندازهگیری ویسکوزیته نانوسیالات .....
۳۷ .....	۶-۳	نحوه انجام محاسبات .....
۳۷ .....	۱-۶-۳	محاسبه ضریب انتقال حرارت جابهجایی .....
۳۹ .....	۲-۶-۳	افت فشار .....
۳۹ .....	۷-۳	آنالیز خطای .....
۳۹ .....	۱-۷-۳	خطای دستگاههای اندازهگیری .....
۴۰ .....	۲-۷-۳	خطای محاسبه عدد رینولدز .....
۴۰ .....	۳-۷-۳	خطای محاسبه ضریب انتقال حرارت .....
۴۱ .....	۸-۳	بررسی دقت دستگاه آزمایش .....
۴۲ .....	۱-۸-۳	دقت نتایج ضریب انتقال حرارت .....
۴۳ .....	۲-۸-۳	دقت نتایج افت فشار .....
۴۶ .....	۴	فصل چهارم: شبیه‌سازی جریان نانوسیال با استفاده از روش‌های عددی تک‌فاز و دو‌فازی .....
۴۷ .....	۱-۴	۱- مقدمه .....
۴۷ .....	۲-۴	۲- روش تک‌فازی همگن .....
۴۹ .....	۳-۴	۳- روش تک‌فاز پخشی .....
۵۲ .....	۴-۴	۴- روش مخلوط دو‌فاز .....
۵۵ .....	۴-۵	۵- روش اویلر لاگرانژ .....
۶۰ .....	۶-۴	۶- مشخصات شبیه‌سازی عددی .....

۶۰	۱-۶-۴ مشخصات هندسه مدل شده
۶۰	۲-۶-۴ مشخصات شبکه‌ی حل
۶۱	۳-۶-۴ بررسی استقلال از شبکه و دقت حل
۶۲	۴-۶-۴ تنظیمات حل گر و شرایط مرزی
۶۳	۵ بررسی نتایج، نتیجه گیری و پیشنهادهایی برای پژوهش‌های آینده
۶۴	۱-۵ مقدمه
۶۴	۲-۵ نتایج اندازه‌گیری ویسکوزیته
۶۵	۳-۵ توزیع دما در سطح مقطع‌هایی خاص از لوله
۶۶	۴-۵ ضریب انتقال حرارت جابه‌جایی میانگین
۷۲	۵-۵ عدد ناسلت میانگین
۷۸	۶-۵ افت فشار
۸۴	۷-۵ ارزیابی عملکرد استفاده از نانوپیالات
۸۶	۸-۵ پیشنهاد برای تحقیقات آینده
۸۷	۹ مراجع

## فهرست شکل‌ها و نمودارها

شکل ۱-۳: شماتیک دستگاه آزمایش ..... ۲۵
شکل ۲-۳: تصویر دستگاه آزمایش ..... ۲۶
شکل ۳-۳: پمپ‌های مورد استفاده ..... ۲۶
شکل ۴-۳: شیر سه راهه ..... ۲۷
شکل ۵-۳: روتامترهای جریان آرام و آشفته ..... ۲۸
شکل ۶-۳: فشارسنج دیفرانسیلی ..... ۲۹
شکل ۷-۳: پره‌های محفظه اختلاط ..... ۳۰
شکل ۸-۳: نحوه اختلاط جریان ..... ۳۰
شکل ۹-۳: ترموکوپل نوع K ..... ۳۱
شکل ۱۰-۳: سیستم داده بردار ADAM 5000/TCP ..... ۳۲
شکل ۱۱-۳: خنک کن اولیه ..... ۳۲
شکل ۱۲-۳: کویل مسی ..... ۳۳
شکل ۱۳-۳: حمام اولتراسونیک ..... ۳۵
شکل ۱۴-۳: همزن مغناطیسی ..... ۳۵
شکل ۱۵-۳: نمونه نانوسیال تولید شده ..... ۳۶
شکل ۱۶-۳: دستگاه اندازه‌گیری ویسکوژیته ..... ۳۷
شکل ۱۷-۳: حجم کترل دیفرانسیلی بر روی سیال درون لوله ..... ۳۸
شکل ۱۸-۳: مقایسه نتایج تئوری هازن با نتایج تجربی برای جریان آرام آب مقطر ..... ۴۲
شکل ۱۹-۳: مقایسه نتایج تئوری گنیلینسکی با نتایج تجربی برای جریان آشفته آب مقطر ..... ۴۳
شکل ۲۰-۳: مقایسه نتایج تئوری دارسی ویسباخ با نتایج تجربی برای جریان آرام آب مقطر ..... ۴۴
شکل ۲۱-۳: مقایسه نتایج تئوری دارسی ویسباخ با نتایج تجربی برای جریان آشفته آب مقطر ..... ۴۴
شکل ۲۵-۳: مقایسه نتایج اندازه‌گیری ویسکوژیته نانوسیالات با غلظت‌های مختلف با رابطه (۱۱-۲) ..... ۶۴

- شکل ۲-۵: مقایسه توزیع دما در حل عددی با دماهای اندازه‌گیری شده توسط ترموموپل ها در آزمایش‌های تجربی (Re=1200) ..... ۶۵
- شکل ۳-۵: مقایسه توزیع دما در حل عددی با دماهای اندازه‌گیری شده توسط ترموموپل ها در آزمایش‌های تجربی (Re=10000) ..... ۶۶
- شکل ۴-۵: نمودار ضریب انتقال حرارت میانگین برای غلظت‌های مختلف نانوسیالات بر حسب عدد رینولدز در جریان آرام ..... ۶۶
- شکل ۵-۵: نمودار ضریب انتقال حرارت میانگین برای غلظت‌های مختلف نانوسیالات بر حسب عدد رینولدز در جریان آشفته ..... ۶۷
- شکل ۶-۵: نمودار مقایسه نسبت ضریب انتقال حرارت میانگین بر حسب عدد رینولدز برای غلظت ۰/۲۵٪ در جریان آرام ..... ۶۸
- شکل ۷-۵: نمودار مقایسه نسبت ضریب انتقال حرارت میانگین بر حسب عدد رینولدز برای غلظت ۰/۵٪ در جریان آرام ..... ۶۸
- شکل ۸-۵: نمودار مقایسه نسبت ضریب انتقال حرارت میانگین بر حسب عدد رینولدز برای غلظت ۰/۷٪ در جریان آرام ..... ۶۹
- شکل ۹-۵: نمودار مقایسه نسبت ضریب انتقال حرارت میانگین بر حسب عدد رینولدز برای غلظت ۱٪ در جریان آرام ..... ۶۹
- شکل ۱۰-۵: نمودار مقایسه نسبت ضریب انتقال حرارت میانگین بر حسب عدد رینولدز برای غلظت ۰/۲۵٪ در جریان آشفته ..... ۷۰
- شکل ۱۱-۵: نمودار مقایسه نسبت ضریب انتقال حرارت میانگین بر حسب عدد رینولدز برای غلظت ۰/۵٪ در جریان آشفته ..... ۷۰
- شکل ۱۲-۵: نمودار مقایسه نسبت ضریب انتقال حرارت میانگین بر حسب عدد رینولدز برای غلظت ۰/۷٪ در جریان آشفته ..... ۷۱
- شکل ۱۳-۵: نمودار عدد ناسلت میانگین برای غلظت‌های مختلف نانوسیالات بر حسب عدد رینولدز در جریان آرام ..... ۷۲

شکل ۱۴-۵: نمودار عدد ناسلت میانگین برای غلظت‌های مختلف نانوسیالات بر حسب عدد رینولدز در جریان آشفته.....	۷۲
شکل ۱۵-۵: نمودار مقایسه نسبت عدد ناسلت میانگین بر حسب عدد رینولدز برای غلظت ۰/۲۵٪ در جریان آرام.....	۷۳
شکل ۱۶-۵: نمودار مقایسه نسبت عدد ناسلت میانگین بر حسب عدد رینولدز برای غلظت ۰/۵٪ در جریان آرام.....	۷۴
شکل ۱۷-۵: نمودار مقایسه نسبت عدد ناسلت میانگین بر حسب عدد رینولدز برای غلظت ۰/۷٪ در جریان آرام.....	۷۴
شکل ۱۸-۵: نمودار مقایسه نسبت عدد ناسلت میانگین بر حسب عدد رینولدز برای غلظت ۱٪ در جریان آرام.....	۷۵
شکل ۱۹-۵: نمودار مقایسه نسبت عدد ناسلت میانگین بر حسب عدد رینولدز برای غلظت ۰/۲۵٪ در جریان آشفته.....	۷۵
شکل ۲۰-۵: نمودار مقایسه نسبت عدد ناسلت میانگین بر حسب عدد رینولدز برای غلظت ۰/۵٪ در جریان آشفته.....	۷۶
شکل ۲۱-۵: نمودار مقایسه نسبت عدد ناسلت میانگین بر حسب عدد رینولدز برای غلظت ۰/۷٪ در جریان آشفته.....	۷۶
شکل ۲۲-۵: نمودار مقایسه عدد ناسلت متوسط پیش بینی شده توسط رابطه ارایه شده با نتایج آزمایشگاهی در جریان آرام.....	۷۷
شکل ۲۳-۵: نمودار مقایسه عدد ناسلت متوسط پیش بینی شده توسط رابطه ارایه شده با نتایج آزمایشگاهی در جریان آشفته.....	۷۸
شکل ۲۴-۵: نمودار افت فشار اندازه‌گیری شده بر حسب عدد رینولدز در جریان آرام .....	۷۹
شکل ۲۵-۵: نمودار افت فشار اندازه‌گیری شده بر حسب عدد رینولدز در جریان آشفته .....	۷۹
شکل ۲۶-۵: نمودار افت فشار اندازه‌گیری شده بر حسب عدد رینولدز در جریان آرام .....	۸۰
شکل ۲۷-۵: نمودار افت فشار اندازه‌گیری شده بر حسب عدد رینولدز در جریان آشفته .....	۸۱

شکل ۲۸-۵: نمودار مقایسه ضریب اصطکاک پیش بینی شده توسط رابطه ارایه شده با نتایج آزمایشگاهی	۸۳
در جریان آرام.....	
شکل ۲۹-۵: نمودار مقایسه ضریب اصطکاک پیش بینی شده توسط رابطه ارایه شده با نتایج آزمایشگاهی	۸۳
در جریان آشفته .....	
شکل ۳۰-۵: نمودار تغییرات ضریب انتقال حرارت جابه جایی متوسط نانوسیال با توان پمپاژ در جریان آرام	۸۵
.....	
شکل ۳۱-۵: نمودار تغییرات ضریب انتقال حرارت جابه جایی متوسط نانوسیال با توان پمپاژ در جریان آشفته .....	۸۵
آشفته .....	

## فهرست جداول

جدول ۱-۱: مقادیر ضریب هدایت حرارتی مواد مختلف [۲]	۳
جدول ۲-۱: مقایسه خواص سوپرپانسیون های حاوی میکرو ذرات و نانوذرات	۴
جدول ۲-۳: خواص نانوذره آلمینا تولیدی شرکت دگوسا	۳۴
جدول ۲-۳: میزان خطای دستگاههای اندازه گیری	۴۰
جدول ۱-۴: مقایسه مقدار عدد ناسلت متوسط برای جریان آرام برای شبکه های مختلف ( $Re=1200$ )	۶۱
جدول ۲-۴: مقایسه مقدار عدد ناسلت متوسط برای جریان آشفته برای شبکه های مختلف ( $Re=10000$ )	۶۱
جدول ۱-۵: بیشترین نسبت افت فشار در غلظت های مختلف	۸۰
جدول ۲-۵: مقایسه نتایج روش های مختلف عددی و آزمایشگاهی برای افت فشار در عدد رینولدز	۱۷۰۰
	۸۲
جدول ۳-۵: مقایسه نتایج روش های مختلف عددی و آزمایشگاهی برای افت فشار در عدد رینولدز	۱۰۰۰۰
	۸۲

## فهرست نمادها و علائم اختصاری

### علائم:

$B_c$	ثابت بولتزمن	$a$	شتاب
$C$	ضریب ثابت پخشی	$c_p$	گرمای ویژه در فشار ثابت
$C_c$	ضریب تصحیح کانیگها	$c_v$	گرمای ویژه در حجم ثابت
$C_m$	ضریب ثابت	$D$	قطر لوله
$C_s$	ضریب ثابت	$d$	قطر نانوذرات
$C_t$	ضریب ثابت	$\dot{E}$	نرخ انتقال انرژی گرمایی
$d_{ij}$	تансور تعییر شکل	$f$	ضریب اصطکاک
$F$	نیروی کل	$f_{drag}$	تابع درگ
$F_B$	نیروی براونی	$g$	شتاب گرانش
$F_D$	نیروی درگ	$h$	آنالپی محسوس
$F_G$	نیروی گرانش	$\bar{h}$	ضریب انتقال حرارت جابه جایی میانگین
$F_L$	نیروی لیفت سافمن	$k$	ضریب هدایت حرارتی
$F_P$	نیروی اختلاف فشار	$L$	طول لوله
$F_T$	نیروی ترموفوتیک	$\dot{m}$	دبی جرمی
$F_V$	نیروی جرم مجازی	$\overline{Nu}$	عدد ناسلت میانگین
$H$	آنالپی	$Pr$	عدد پرانتل
$Kn$	عدد نادسون	$r$	شعاع لوله
$K_s$	ضریب ثابت	$Re$	عدد رینولدز
$l$	فضای آزاد میانگین	$T$	دما
$\dot{Q}$	نرخ حرارت منتقل شده	$u_m$	سرعت میانگین
$Sp$	ترم چشمہ	$x$	فاصله محوری
زیر و ندها:			
$i$	وروودی	$bf$	سیال پایه
$k$	شماره فاز	$c$	سطح مقطع
lam	جریان آرام	$exp$	تجربی
$m$	مخلط	$f$	فاز اول - سیال
nf	نانو سیال	$fd$	کاملاً توسعه یافته

Num	عددی	h	هیدرودینامیکی
s	سطح	o	خرسچی
t	حرارتی	p	فاز دوم - ذرات
turb	جريان مغشوش	d	پخشی
نمادهای یونانی:			
v	ویسکوزیته دینامیکی	ρ	چگالی
φ	غلظت حجمی نانوذرات	μ	ویسکوزیته سینماتیکی
ΔP	افت فشار	γ	عدد تصادفی گوسی

# فصل اول: مقدمه